#### ЗАКЛЮЧЕНИЕ

Показано, что для структур Al/SiO<sub>2</sub>/*n*-Si, облученных ионами гелия с энергией 5 МэВ, функции плотности поверхностных состояний с эффективными временами перезарядки  $\approx 160$  мкс и  $\approx 0.16$  мкс существенно отличны. Установлено, что при облучении флюенсом  $10^{11}$  см<sup>-2</sup> на поверхностных состояниях, эффективные времена перезарядки которых лежат в интервале 160 мкс  $< \tau < 0.16$  мкс, может накапливаться заряд  $\approx 70$  мкКл/см<sup>2</sup>.

#### БИБЛИОГРАФИЧЕСКИЕ ССЫЛКИ

- 1. Sze, S.M. Physics of semiconductor devices / S.M. Sze, K.K. Ng. N.Y.: Wiley, 2007. 832 p.
- Nicollian, E.H. The Si-SiO<sub>2</sub> interface electrical properties as determined by metal-insulator-silicon conductance technique / E.H. Nicollian, A. Goetzberger // The Bell System Technical Journal. 1967.

   V. XLVI, № 6. P. 1055–1133.
- 3. Берман, Л.С. Емкостные методы исследования полупроводников / Л.С. Берман. Л.: Наука, 1972. 104 с.
- 4. Kochowski, S. Description of the frequency behaviour of metal–SiO<sub>2</sub>–GaAs structure characteristics by electrical equivalent circuit with constant phase element / S. Kochowski, K. Nitsch // Thin Solid Films. 2002. V. 415, № 1-2. P. 133–137.
- 5. Impedance spectroscopy: theory, experiment, and applications / Eds. E. Barsoukov, J.R. Macdonald. Hoboken: Wiley, 2005. 595 p.
- 6. Поклонский, Н.А. Комплексная электрическая емкость структур Al/SiO<sub>2</sub>/n-Si, облученных высокоэнергетическими ионами ксенона / Н.А. Поклонский [и др.] // Опто-, микро- и СВЧ-электроника 2018: сб. науч. статей I Междунар. науч.-техн. конф., Минск, Беларусь, 22–26 окт. 2018 г. / Ин-т физики им. Б.И. Степанова НАНБ; ред. Н.С. Казак, А.С. Чиж, В.В. Малютина-Бронская. Минск: Институт физики НАНБ, 2018. С. 132–135.

# МОДИФИКАЦИЯ СИНТЕТИЧЕСКИХ АЛМАЗОВ ПУТЕМ ВЫСОКОТЕМПЕРАТУРНОГО ВАКУУМНОГО ОТЖИГА

 $\Gamma$ . А.  $\Gamma$ усаков<sup>1</sup>,  $\Gamma$ . В. Шаронов<sup>1</sup>, О. В. Королик<sup>2</sup>

Исследовано влияние термообработки в вакууме в температурном интервале  $800-1600\,^{\circ}\mathrm{C}$  на дефектно-примесную структуру монокристаллов синтетического алмаза, выращенных методом температурного градиента (НРНТ-метод). Установлено, что при  $T>900\,^{\circ}\mathrm{C}$  начинается активная перестройка никельсодержащих дефектов, ответственных за полосы поглощения  $658\,$ и  $680\,$ нм. В результате отжига никельсодержащих дефектов происходит генерация вакансий, которые, в свою очередь, взаимодействуют с имеющимися в НРНТ-алмазах примесными атомами азота с образованием NV-центров. Показано, что вакуумный отжиг при высоких температурах приводит к повышению степени совершенства кристаллической решетки HPHT-алмазов.

*Ключевые слова:* синтетический алмаз; примеси; вакуумный отжиг.

<sup>&</sup>lt;sup>1)</sup> Институт прикладных физических проблем им. А.Н. Севченко, ул. Курчатова, 7, 220145 Минск, Беларусь, e-mail: gga68@rambler.ru

<sup>2)</sup> Белорусский государственный университет, пр. Независимости, 4, 220030 Минск, Беларусь

## MODIFICATION OF SYNTHETIC DIAMONDS BY HIGH-TEMPERATURE VACUUM ANNEALING

G. A. Gusakov<sup>1</sup>, G. V. Sharonov<sup>1</sup>, O. V. Korolik<sup>2</sup>

<sup>1)</sup>A.N. Sevchenko Institute of Applied Physical Problems, Kurchatov str., 7, 220145 Minsk, Belarus
<sup>2)</sup> Belarusian State University, Nezavisimosti av. 4, 220030 Minsk, Belarus
Corresponding author: G. A. Gusakov (gga68@rambler.ru)

The effect of vacuum heat treatment in the temperature range of  $800-1600\,^{\circ}\text{C}$  on the defect-impurity structure of synthetic diamond single crystals grown by the temperature gradient method (HPHT method) was studied. It was found that at  $T > 900\,^{\circ}\text{C}$ , active rearrangement of nickel-containing defects responsible for the absorption bands of 658 and 680 nm begins. As a result of annealing of nickel-containing defects, vacancies are generated, which, interact with impurity nitrogen atoms present in HPHT diamonds to form NV-centers. It was shown that vacuum annealing at high temperatures leads to an increase the perfection of the crystal lattice of HPHT diamonds.

**Key words**: synthetic diamond; impurities; vacuum annealing.

## **ВВЕДЕНИЕ**

В последнее время наметился существенный прогресс в технологии эпитаксиального наращивания монокристаллических алмазных слоев на алмазных подложках методом осаждения из газовой фазы (CVD-метод) [1]. Этот метод обеспечивает высокую химическую чистоту и однородность получаемого материала, а также возможность его легирования в процессе синтеза. Появились сведения о выращивании CVD-методом алмазных пластин большого размера [1]. Этот материал открывает новые перспективы для развития электроники на алмазе [2]. Таким образом, решающее значение для успешного серийного производства оптоэлектронных устройств на алмазе имеет дальнейшее развитие CVD-технологии выращивания высококачественных монокристаллов алмаза, что, в свою очередь, требует создания высококачественных алмазных подложек [3]. Известно, что постростовый высокотемпературный отжиг при стабилизирующем давлении (НРНТ-обработка) существенно улучшает оптические характеристики и теплопроводность синтетических алмазов [4]. Данный эффект достигается за счет агрегации примесных атомов азота и никеля с образованием сложных дефектных комплексов [5]. Однако, такая обработка весьма дорога и не может быть использована при серийном производстве. Альтернативой НРНТобработке является отжиг без давления в вакууме, инертных газах или водороде так называемая LPHT-обработка [6, 7]. Исходя из этого, в настоящей работе была поставлена задача изучения влияния постростовой термообработки в вакууме на дефектно-примесную структуру монокристаллов НРНТ алмазов с целью улучшения их физических характеристик и получения структурно однородных алмазных подложек.

#### МАТЕРИАЛЫ И МЕТОДЫ

В работе исследовались монокристаллы синтетического алмаза, выращенные методом температурного градиента (НРНТ-метод) в системах металла-катализатора Ni-Fe-C. Для проведения экспериментов было отобрано 6 образцов НРНТ алмазов различным содержанием примеси никеля. Отбор кристаллов производился по спек-

трам поглощения света в диапазоне 600–800 нм, где расположены полосы поглощения никельсодержащих дефектов. Исходные образцы представляли собой плоскопараллельные пластины с ориентацией (100). Примесный состав образцов НРНТ-алмаза до и после вакуумного отжига исследовались методами поглощения света в спектральной области 0,2–25 мкм. Регистрация спектров поглощения в спектральной области от 0,2 до 0,9 мкм проводилась на двулучевом спектрофотометре Carry 300 UV-VIS-NIR (Varian, США). Спектры ИК поглощения в диапазоне от 2 до 25 мкм регистрировались при помощи Фурье-спектрометра Vertex 70 (Bruker, Германия). Структура образцов контролировалось при метода комбинационного рассеяния света (КР). Спектры КР и люминесценции регистрировались на микро-Рамановском спектрометре Nanofinder (LotisTII, Беларусь-Япония) при возбуждении излучением полупроводникового лазера с длиной волны 532 нм.

Отжиг образцов производился в графитовых тиглях в вакуумной печи СШВЭ2,5 (ВакЭТО, Россия) при остаточном давлении газов  $10^{-2}$  Па в температурном интервале от 800 до  $1600\,^{\circ}$ С с шагом  $100\,^{\circ}$ С. Длительность термообработки (время нахождения при максимальной температуре) во всех экспериментах составляла  $1\,$  час. Остывание образцов происходило вместе с печью. Перед регистрацией спектров образцы обрабатывались в хромовой смеси при  $T=120\,^{\circ}$ С в течение  $2\,$  часов, а затем многократно промывались дистиллированной водой.

## РЕЗУЛЬТАТЫ И ОБСУЖДЕНИЕ

Все исследованные кристаллы относились к типу Ib с высоким содержанием примеси азота преимущественно в форме С-дефекта (одиночный атом в положении замещения). Общая концентрация примеси азота варьировалась в диапазоне от 140 до 280 ppm (частиц на миллион атомов углерода). Доля А-дефектов (пара атомов азота в соседних узлах решетки) составляла 5–20 %.

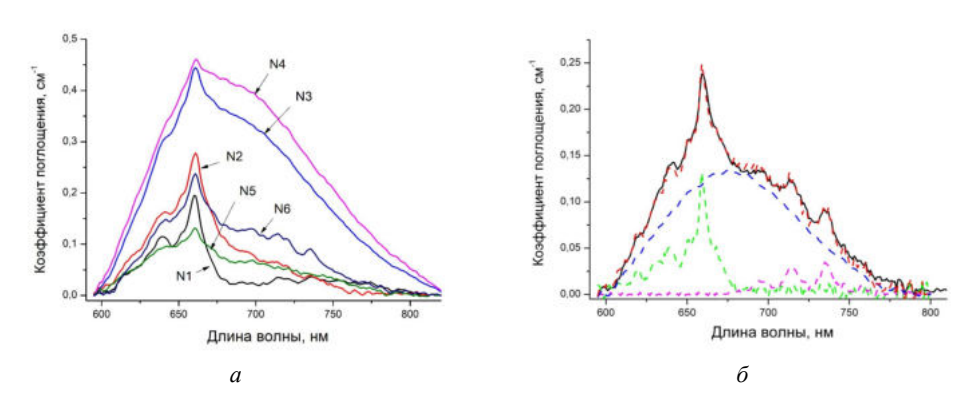


Рис. 1. Спектры поглощения исходных образцов в диапазоне 600–800 нм (a) и пример декомпозиции спектра никельсодержащих дефектов  $(\delta)$ 

В видимом диапазоне спектра в области 600–800 нм (рисунок 1) регистрируются системы полос 658 нм и 732 нм, связанные с примесью никеля. Система 658 нм соответствует отрицательно заряженному иону никеля в положении замещения, а система 732 нм — сложному комплексу, содержащему атомыникеля и азота и вакансии [15]. Для большинства исследованных образцов системы полос 658 нми 732 нм реги-

стрируется на фоне широкой бесструктурной полосы с максимумом  $\sim 680$  нм. Природа этой полосы до сих пор не ясна. Однако, ее тоже связывают с примесью никеля в кристаллах алмаза [16]. На рисунке 1,  $\delta$  показан пример декомпозиции спектра никельсодержащих дефектов в НРНТ-алмазах. На основании анализа спектров поглощения нами было выделено 2 группы образцов. Первая группа (образцы №№ 3 и 4) содержала большое количество примеси никеля. Вторая группа (образцы №№ 1, 2, 5 и 6) содержала в 2–4 раза меньше примеси никеля, чем образцы из первой группы.

Все исследованные образцы выдержали термообработку в вакууме при  $T=1500\,^{\circ}\mathrm{C}$  без видимых повреждений. При  $T=1600\,^{\circ}\mathrm{C}$  для двух из шести исследованных образцов наблюдалось образование локальных графитовых включений. Таким образом, температура  $T=1500\,^{\circ}\mathrm{C}$ , по-видимому, является предельной для термообработки HPHT-алмазов в вакууме.

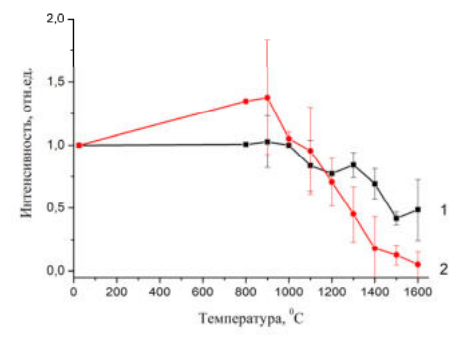


Рис. 2. Зависимость интенсивности поглощения в полосе 680 нм от тепературы вакуумного отжига: (1) кристаллы с высоким содржание примеси никеля; (2) кристаллы с низким содержанием примеси никеля

Рис. 3. Зависимость интенсивности поглощения в полосе 658 нм от тепературы вакуумного отжига: (1) кристаллы с высоким содржание примеси никеля; (2) кристаллы с низким содержанием примеси никеля

На рисунках 2 и 3 представлены зависимости относительной интенсивности полос поглощения 658 и 680 нм, связанных с никельсодержащими дефектами в алмазе, от температуры вакуумного отжига. Для удобства анализа все данные были нормированы на интенсивность полосы соответствующего примесного центра в исходном образце. Видно, что отжиг дефектов, ответственных за полосу поглощения 680 нм, начинается при  $T > 900\,^{\circ}$ С. Причем для кристаллов с низким содержанием примеси никеля наблюдается практически полное исчезновение этой полосы при  $T = 1600\,^{\circ}$ С. Для кристаллов с высоким содержание примеси никеля эта полоса сохраняется после отжига при  $T = 1600\,^{\circ}$ С, хотя ее интенсивность и снижается  $\sim$  в 2 раза по сравнению с исходными образцами.

Для кристаллов с низким содержанием примеси никеля интенсивность полосы 658 нм, также как и полосы 680 нм, начинает снижаться при  $T > 900\,^{\circ}\mathrm{C}$ . При максимальной температуре отжига ( $T = 1600\,^{\circ}\mathrm{C}$ ) интенсивность поглощения в полосе 658 нм составляет  $\sim 40\,\%$  от исходных значений. Для кристаллов с высоким содержанием примеси никеля наблюдается рост интенсивности поглощения в полосе 658 нм вплоть до  $T = 1200\,^{\circ}\mathrm{C}$ . Причем увеличение интенсивности составляет  $\sim 50\,\%$ . При более высоких температурах начинается постепенное снижение интенсивности

поглощения в этой полосе, и она возвращается к исходным значениям при максимальной температуре отжига. Сравнивая зависимости интенсивностей полос 680 и 658 нм от температуры вакуумного отжига для кристаллов первой и второй групп можно сделать предположение о том, что отжиг никельсодержащих дефектов, ответственных за полосу поглощения 680 нм, приводит к росту интенсивности поглощения в полосе 658 нм. Для исходных кристаллов из первой группы интенсивность поглощения в полосе 680 нм в 4—6 раз выше, чем для кристаллов второй группы. С этим, по-видимому, и связан наблюдаемый аномальный рост поглощения в полосе 658 нм для кристаллов из первой группы.

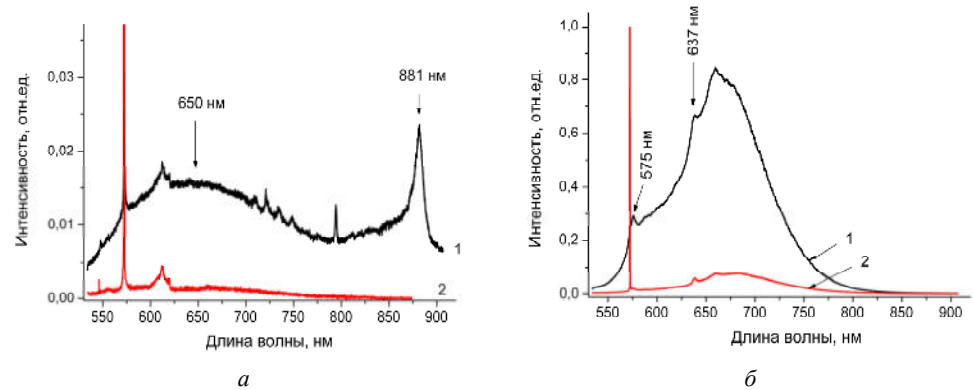


Рис. 4. Спектры люминесценции исходных образцов НРНТ-алмаза (а) и образцов после вакуумного отжига при  $T=1500\,^{\circ}\mathrm{C}$  (б): I – кристаллы с высоким содержанием примеси никеля; 2 – кристаллы с низким содержанием примеси никеля

На рисунке 4 приведены спектры люминесценции исследованных образцов, зарегистрированные при возбуждении на длине волны 532 нм. Для удобства сравнения все спектры нормированы на интенсивность линии КР алмаза. Для исходных кристаллов с высоким содержанием примеси никеля в спектре наблюдается широкая полоса с максимумом ~ 650 нм на коротковолновом плече которой проявляются линии КР алмаза первого и второго порядков (рис. 4, а). Присутствует также интенсивная полоса с максимумом 881 нм, связанная с одиночными атомами никеля в решетке алмаза [8]. Кроме того, в диапазоне 700-800 нм присутствуют несколько узких слабых линий, которые, по-видимому, связаны с никельсодержащими комплексами. Для кристаллов с низким содержанием примеси никеля в спектрах присутствует только слабая полоса с максимумом ~ 650 нм. В результате вакуумного отжига при  $T = 1500 \, ^{\circ}\mathrm{C}$  интегральная интенсивность люминесценции увеличивается  $\sim$  в 50 раз (рис. 4,  $\delta$ ). При этом в спектре доминируют полосы центров N-V $^0$  (575 нм) и N-V (637 нм). Отсюда следует, что в результате отжига никельсодержащих дефектов (прежде всего, дефектов, ответственных за полосу поглощения 680 нм) происходит генерация вакансий, которые, в свою очередь, взаимодействуют с имеющимися в HPHT-алмазах примесными атомами азота с образованием NV-центров.

На рисунке 5 приведено сравнение линий KP алмаза, зарегистрированных в одной и той же точке образца до и после вакуумного отжига при  $T=1500\,^{\circ}\mathrm{C}$ . Видно, что в результате отжига происходит уменьшение полуширины этой линии.

В данном случае эффект составляет  $0.12 \text{ см}^{-1}$  (полуширина линии уменьшилась с 1.83 до  $1.71 \text{ см}^{-1}$ ).

Схожий эффект наблюдался и для остальных исследованных образцов. Известно [8], что полуширина линии КР алмаза может выступать в качестве меры степени совершенства кристаллической решетки. Таким образом, можно утверждать, что вакуумный отжиг приводит к улучшению структуры НРНТ-алмазов.

#### ЗАКЛЮЧЕНИЕ

Вакуумный отжиг позволяет эффективно воздействовать на дефектно-

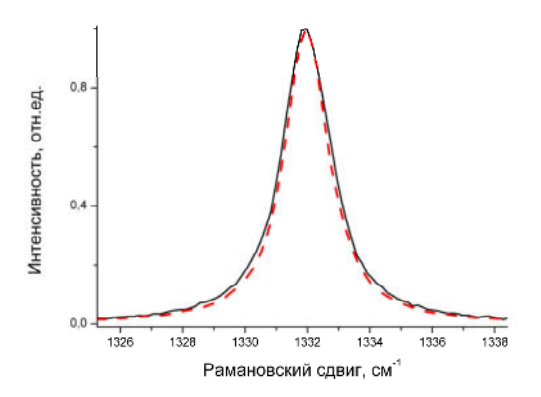


Рис. 5. Линии КР алмаза для исходного образца (----) и образца после вакуумного отжига при  $T=1500\,^{\circ}\mathrm{C}$  (- - -)

примесную структуру HPHT-алмазов. При  $T > 900\,^{\circ}$ С начинается активная перестройка никельсодержащих дефектов, ответственных за полосы поглощения 658 и 680 нм. В результате отжига никельсодержащих дефектов (прежде всего, дефектов, ответственных за полосу поглощения 680 нм) происходит генерация вакансий, которые, в свою очередь, взаимодействуют с имеющимися в HPHT-алмазах примесными атомами азота с образованием NV-центров. В целом, вакуумный отжиг при высоких температурах приводит к повышению степени совершенства кристаллической решетки HPHT-алмазов.

### БИБЛИОГРАФИЧЕСКИЕ ССЫЛКИ

- Large-area high-quality single crystal diamond / M. Schreck, et. al. // MRS Bull. 2014. Vol. 39. -P. 504–510.
- Umezawa, H. Recent advances in diamond power semiconductor devices / H. Umezawa // Materials Science in Semiconductor Processing. - 2018. - Vol. 78. - P. 147–156.
- 3. Hicks, M.L. Polishing, preparation and patterning of diamond for device applications / M.L. Hicks, A.C. Pakpour-Tabrizi, R.B. Jackman // Diam. Relat. Mater. 2019. -Vol. 97. P.107424 (1–29).
- Dobrinets, I.A. HPHT-treated Diamonds / I.A. Dobrinets, V.G. Vins, A.M. Zaitsev Berlin: Springer, 2013. – 257 p.
- 5. Yelisseyev, A.P. Optical centers related to 3d transition metals in diamond / A.P. Yelisseyev, H. Kanda // New Diamond Front. Carbon Technol. 2007. Vol. 17. P. 127-178.
- APHT treatment of brown type Ia natural diamonds: Dislocation movement or vacancy cluster destruction? / V.G. Vins, et. al. //Diam. Relat. Mater. - 2010. – Vol. 19. – P. 829–832.
- 7. Comparison of HPHT and LPHT annealing of Ib synthetic diamond / Kazuchits N.M., et. al. // Diam. Relat. Mater. 2018. Vol. 91. P. 156–164.
- Zaitsev, A.M. Optical Properties of Diamond: A Data Handbook / A.M. Zaitsev Berlin: Springer, 2001 – 502 p.